

Морфо-функциональная характеристика нейро-вазальных взаимоотношений периферических нервов в период их дегенерации и регенерации

В. Л. Зеляк, В. А. Левицкий, И. И. Герзанич,
Е. М. Юрах, Я. Р. Луговая

Наблюдаемые в невропатологической практике различия симптоматики повреждений периферических нервов во многом определяются не только своеобразием их внутриствольной структурной организации, но и состоянием внутриствольного кровеносного русла. Несмотря на то, что пути кровоснабжения периферических нервов были предметом исследования многих авторов [2, 3, 5, 10, 14, 16, 18, 19], до настоящего времени остаются мало раскрытыми морфометрические особенности внутриствольных взаимоотношений между нервными волокнами и кровеносными сосудами [13, 17]. Недостаточно изучены потенциальные свойства внутриствольных кровеносных сосудов, возможности их перестройки во время регенерации нервных стволов [1, 4, 13, 20].

Исходя из указанных выше предпосылок, мы экспериментально изучали особенности перестройки кровеносного русла и его потенциальные резервы, изменение внутриствольных взаимоотношений между нервными волокнами и внутриствольными кровеносными сосудами в стволе срединного нерва в период его де- и регенерации после травматического повреждения.

Методика

Исследования выполнены на 34 взрослых (от 2 до 5 лет) собаках-самцах массой 15–20 кг. Животных подопытной и контрольной групп содержали в одинаковых условиях: они получали полноценное питание. Объектом исследования служил срединный нерв после его перерезки и шивания в области средней трети плеча на 7-, 14-, 30-, 90-, 180- и 360-е сутки наблюдения. Операцию производили под внутривенным тиопенталовым наркозом.

Для изучения внутриствольных нейро-вазальных взаимоотношений использовали способ выявления микрососудов в сочетании с выявлением нервных волокон [12]. Продольные и поперечные срезы срединного нерва толщиной 4–8 мкм для выявления миелиновых оболочек и их структурных изменений обрабатывали по методу Кульчицкого, для окраски аксонов миелиновых и безмиелиновых волокон по методу Рэнсона и Массона, для выявления дегенеративных изменений в миелиновых оболочках по методу Марки [11, 15]. При этом использовали некоторые собственные модификации. Кровеносные сосуды нерва выявляли инъекционными и безинъекционными [8] методами. Измерения диаметра нервных волокон, их осевых цилиндров, кровеносных сосудов и других компонентов нервных стволов проводили на препаратах под световым микроскопом с помощью микрометрической линейки и калибровочной сетки. Среди мякотных волокон и внутриствольных капилляров по диаметру выделяли мелкие (до 4 мкм), среднего калибра (4,1–7,0 мкм) и крупные (больше 7,0 мкм). Для всех групп мякотных волокон вычисляли показатель соотношения между диаметром аксона и толщиной целого волокна. Определяли суммарную емкость внутриствольного кровеносного русла — СЕВКР [6] и производили статистическую обработку полученных результатов [7, 9].

Результаты и их обсуждение

В ранние сроки эксперимента (7-е сутки) в периферическом и центральном отрезках срединного нерва вблизи формирующегося рубца определяются лишь единичные микрососуды, преимущественно обменного и емкостного типов (рис. 1, а). Вокруг них видны мелкоочаговые кровоизлияния в эпиневральную ткань. В связи со снижением

количества внутриствольных гемокапилляров на этих уровнях, расстояния между ними увеличиваются до 160—200 мкм (в норме 110—140 мкм). Одновременно возрастает показатель радиуса кровоснабжения каждого из них (половина среднего расстояния от осевого капилляра до близлежащих), расширяются их зоны васкуляризации, причем в отличие от нормы [13], они не перекрывают друг друга. Снижается

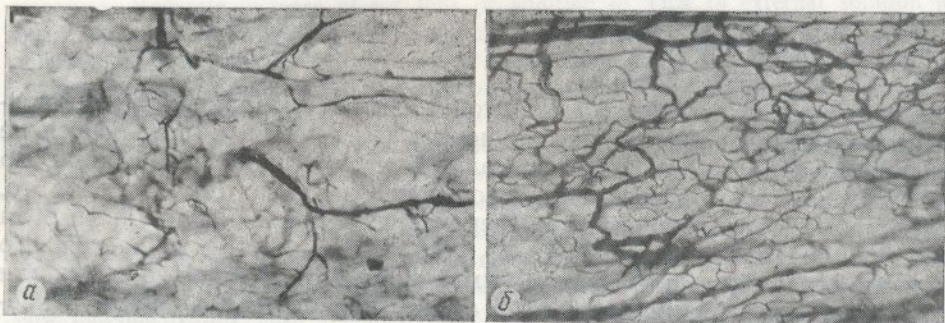


Рис. 1. Ангиоархитектоника участка срединного нерва дистальнее рубца на 7-е (а) и 30-е (б) сутки после его перерезки и сшивания. Инъекция взвесью парижской синей; ×56.

емкость внутриствольного кровеносного русла (табл. 1). Такая посттравматическая временная ишемия области шва травмированного нерва благоприятствует быстрейшему распаду поврежденных нервных волокон, что является обязательной предпосылкой последующей оптимальной регенерации. В этот срок, по нашим данным, в проксимальном отрезке нерва, на расстоянии 5—8 мм от шва, общее количество нервных волокон практически не изменяется. Однако вследствие набухания миelinовой оболочки происходит перекалибровка мякотных волокон с увеличением числа крупных и уменьшением числа мелких и средних из них (см. табл. 1). В это время в области формирующегося рубца и дистальнее него наблюдается выраженный процесс дегенерации нервных волокон. Миelinовая оболочка множества из них набухает, фраг-

Таблица 1. Количественные параметры распределения нервных волокон и внутриствольных

Условие, время и участок наблюдения	Число миelinовых волокон разного калибра		
	смешанного	мелкого	среднего
До повреждения срединного нерва	6672,0±116,3	2162,0±56,4	1114,0±28,2
После повреждения срединного нерва:			
7-е сутки			
проксимальнее рубца	6664,0±57,0	1837,0±15,0*	877,0±27,0*
дистальнее рубца	3357,0±29,0*	330,0±8,7*	260,0±10,0*
14-е сутки			
проксимальнее рубца	6260,0±46,0*	1460,0±24,0*	820,0±17,0
дистальнее рубца	1460,0±23,3*	140,0±8,6*	77,0±3,0*
30-е сутки			
проксимальнее рубца	6420,0±60,3*	2230,0±31,7	1110,0±41,0
дистальнее рубца	2400,0±37,0*	2297,0±34,3	106,0±2,2*
90-е сутки			
проксимальнее рубца	6680,0±29,0	2204,0±12,0	1102,0±12,0
дистальнее рубца	6520,0±47,0	2400,0±27,0*	2350,0±33,0*
360-е сутки			
проксимальнее рубца	6724,0±33,7	2230,0±12,0	1097,0±20,3
дистальнее рубца	6650,0±26,3	2170,0±15,3	1220,0±8,3

* Достоверные отличия значений показателей после повреждения объекта исследования от

ментируется, гипертрофии, изменения, но локон. Безмягкая ниже рубца того, что коли-ров, картина

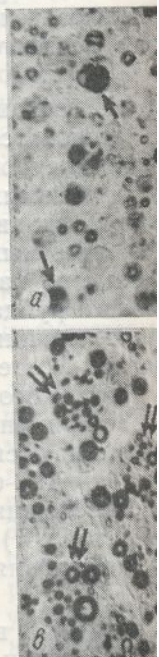


Рис. 2. Миелиновые волокна (а), 90-е (б) и 360-е (в) сутки после перерезки и сшивания, дегенерирующиеся Кульчицкому.

капилляров на площади

капилляров на площади	общий	безмиелиновых
капилляров на площади	капилляров на площади	капилляров на площади
капилляров на площади	капилляров на площади	капилляров на площади
капилляров на площади	капилляров на площади	капилляров на площади
капилляров на площади	капилляров на площади	капилляров на площади

значений показателей до

ровиях, расстоя-
(в норме 110—
са кровоснабже-
осевого капил-
ризации, причем
уга. Снижается

ментируется, подвергается глыбчатому распаду (рис. 2, а). Такие же изменения, но более интенсивные, происходят в аксонах нервных волокон. Безмякотные волокна в области рубца вовсе не определяются, а ниже рубца их сохраняется только незначительное количество. Ввиду того, что количество миelinовых оболочек больше, чем осевых цилиндров, картина нерва на препаратах, окрашенных по Массону и Рэнсо-



рубца на 7-е (а)

. Такая пост-
ированного нер-
х нервных вол-
дующей опти-
роксимальном
тическое нерв-
вие набухания
ных волокон
ких и средних
егося рубца и
терации нерв-
бухает, фраг-

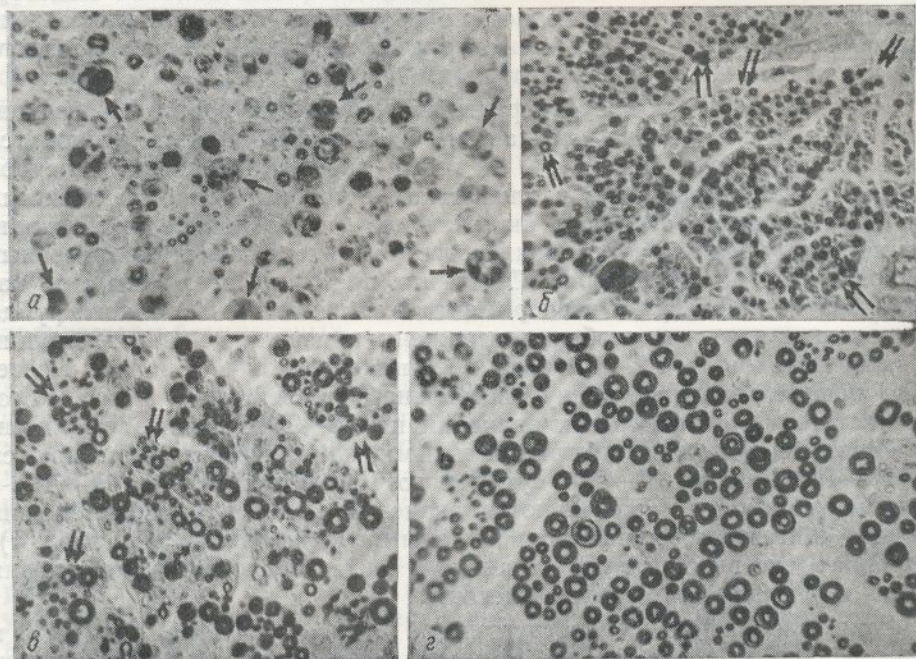


Рис. 2. Миелоархитектоника срединного нерва дистальнее рубца на 7-е (а), 30-е (б), 90-е (в) и 360-е (г) сутки после его перерезки и сшивания:
Дегенерирующие волокна обозначены одной стрелкой, регенерирующие — двумя. Окраска по Кульчицкому; $\times 280$.

и внутриствольных

капилляров на площади 1 мм^2 поперечного сечения срединного нерва ($X \pm S_x$; $n=4$)

Изменение волокон разного калибра	Капилляры		Общее число безмиelinовых волокон	Общее число внутриствольных капилляров	Суммарная площадь (емкость) внутриствольного кровеносного русла, $\mu\text{м}^2$	Радиус кровоснабжения капилляров, $\mu\text{м}$	Площадь зоны васкуляризации капилляров, $\mu\text{м}^2$
	крупного	мелкого					
Среднего							
1114,0 \pm 28,2	3396,0 \pm 60,4	5262,0 \pm 97,8	80,0 \pm 1,5	3970,0 \pm 96,0	56,0 \pm 0,5	9782,0 \pm 84,4	
877,0 \pm 27,0*	3950,0 \pm 33,0*	5157,0 \pm 63,0	61,0 \pm 1,0*	2763,0 \pm 48,0*	63,0 \pm 0,4*	12463,0 \pm 161,0*	
260,0 \pm 10,0*	2767,0 \pm 28,0*	663,0 \pm 14,0*	72,0 \pm 1,0*	4620,0 \pm 90,0*	56,0 \pm 0,3	9782,0 \pm 117,0	
820,0 \pm 17,0	3980,0 \pm 38,0*	4600,0 \pm 83,0*	72,0 \pm 0,8*	4540,0 \pm 85,0*	58,0 \pm 0,2	10563,0 \pm 85,0	
77,0 \pm 3,0*	1243,0 \pm 31,0*	708,0 \pm 29,0*	90,0 \pm 1,2*	7673,0 \pm 144,0*	52,0 \pm 0,5*	8491,0 \pm 170,0*	
1110,0 \pm 41,0	3080,0 \pm 105,3*	5558,0 \pm 82,3*	90,0 \pm 1,7*	6743,0 \pm 40,0*	55,0 \pm 0,2	9496,0 \pm 82,0	
106,0 \pm 2,2*	—	1193,0 \pm 29,0*	131,0 \pm 1,4*	12700,0 \pm 122,0*	43,0 \pm 0,5*	5806,0 \pm 145,0*	
1102,0 \pm 12,0	3374,0 \pm 12,0	5150,0 \pm 57,0	92,0 \pm 0,7*	6623,0 \pm 166,0*	56,0 \pm 0,2	9847,0 \pm 82,0	
2350,0 \pm 33,0*	1770,0 \pm 8,6*	5070,0 \pm 27,0	128,0 \pm 2,0*	1221,0 \pm 54,0*	42,0 \pm 0,5*	5539,0 \pm 135,0*	
1097,0 \pm 20,3	3397,0 \pm 37,0	4873,0 \pm 39,3	82,0 \pm 0,7	4703,0 \pm 56,3	56,0 \pm 0,5	9847,0 \pm 95,7	
1220,0 \pm 8,3	3260,0 \pm 5,0	4833,0 \pm 43,6	83,0 \pm 43,3	4837,0 \pm 43,3	58,0 \pm 1,0	10567 \pm 198,5	

исследования от

значений показателей до его повреждения при $P < 0,01$.

ну, имеет вид «пчелиных сот». Из табл. 1 видно, что на этих уровнях срединного нерва значительно уменьшается количество мякотных волокон всех размерных групп. Наибольшее же снижение волокон мелкого и среднего калибров еще не указывает на то, что они быстрее дегенерируют, так как вследствие набухания миелиновых оболочек они могут трансформироваться в волокна более крупного диаметра. Наличие же отека миелиновых оболочек мякотных волокон подтверждается значительным снижением по сравнению с нормой показателя соотношения между диаметром аксона и толщиной целого нервного волокна во всех их размерных группах.

Начиная с 14 сут после перерезки и сшивания нерва, его сосудистый рисунок постепенно сгущается, анатомоархитектоника становится более плотной (см. рис. 1, б). К этому времени множество сосудов проникает в область рубца и близлежащие участки нерва из смежных сегментов нервного ствола и окружающей его соединительной ткани. Значительно увеличивается количество внутриствольных кровеносных сосудов, особенно капилляров. Среди них превалируют крупные по калибру. На 14—90-е сутки эксперимента их количество в области рубца и дистальнее него, где особенно выражены признаки де- и регенерации нервных волокон, в 1,2—1,6 раза превышает таковое в норме. Постепенно возрастает емкость внутриствольного кровеносного русла, которая достигает максимальных значений на 30—90-е сутки эксперимента. Расстояния между внутриствольными капиллярами уменьшаются до 110—160 мкм на 14—30-е сутки и до 100—120 мкм — на 90—180-е сутки эксперимента. Уменьшаются значения радиуса кровоснабжения каждого капилляра, суживаются их зоны васкуляризации (см. табл. 1). Последние уже перекрывают друг друга, создавая оптимальные условия для де- и регенерации нервных клеток.

Если рассматривать деструктивные и репаративные процессы в травмированном нерве, то на 14-е сутки исследования в его проксиимальном от рубца отделе уже видны отек, вакуолизация и распад миелиновых оболочек некоторых мякотных волокон, фрагментация их осевых цилиндров. Неравномерно импрегнируются, набухают, становятся волнистыми безмякотные волокна. Дегенерация отдельных нервных волокон приводит к уменьшению их общего количества на единице площади поперечного сечения нерва. При этом, вследствие отека миелиновых оболочек, происходит перекалибровка мякотных волокон: количество волокон мелкого и среднего калибров уменьшается, а крупного — увеличивается (см. табл. 1).

На 30-е сутки эксперимента на этом уровне нерва отек миелиновой оболочки и осевых цилиндров, особенно мелких и средних мякотных волокон, уменьшается, о чем свидетельствует показатель соотношения диаметра аксона и целого нервного волокна. Однако все же отдельные волокна сохраняют неровность контуров и неравномерность окраски миелиновых оболочек и осевых цилиндров. Разбор распределения мякотных волокон по группам (см. табл. 1) показал, что, в сравнении с предыдущим сроком опыта, количество мелких увеличивается и даже превышает их количество до повреждения, тогда как количество крупных волокон уменьшается и становится ниже исходного. Растет в этот срок и число безмякотных волокон. Анализируя эти результаты, мы склонны полагать, что среди безмякотных и мелких мякотных волокон есть часть их, которые регенерируют вслед за восходящей дегенерацией.

В последующие сроки (90-, 180- и 360-е сутки) в нервном стволе до рубца особых изменений в структуре миелиновой оболочки, аксонов мякотных и безмякотных нервных волокон мы не наблюдали. Их общее количество и количество раздельно мякотных и безмякотных волокон на площади 1 мм² поперечного сечения нерва, а также распределение мякотных волокон по группам (см. табл. 1) ничем не отличаются от наблюдавшихся до повреждения нерва.

В областно-репаративных исследований оболочек, в эльцгольце обладают проникающие в и в областный и даже образом,期间的时期，这个时期如何度过呢？

На 30-е сутки эксперимента, это значительное время, соответствует, более 2, б). Уже количество

В послеструктурирующих миелиновых перехваты наково для 500 мкм. И дистальные рубцы их упомянуть количества фибр будут 360-е — 100-миллиметровыми волокнами. Из результатов табл. 1) в зависимости от калибра наблюдаемых волокон не достигнутые сутки эксперимента

Во временные изменения в внутриствольной реляции можно в раннем взаимосвязи ляется 0,96-перации существующие репаративные процессы протекают в наших испытаниях повреждения, в связи с числом нервов, расположенных. Это единица ее значение

на этих уровнях во мякотных волокон мелко, что они быстрее новых оболочек пного диаметра, волокон подтверждкой показателя целого нервного

рва, его сосудника становится ожество сосудов рва из смежных ительной ткани.ых кровеносных крупные по ка в области рубца и регенерации в норме. Постепенно русла, котоики эксперимен-и уменьшаются — на 90—180-е кровоснабжения и (см. табл. 1). альные условия

ые процессы в в его прокси- и распад мие- агментация их бухают, станов- тдельных нерв- ства на едини- ледствие отека отных волокон: шается, а круп-

отек миелино- средних мякот- затель соотно- ако все же от- сравнированность збор распредел- оказал, что, в елких увеличии- тогда как ниже исходно- нализируя эти ных и мелких след за восход-

ервном стволе точки, аксонов юали. Их об- якотных воло- кже распреде- не отличают-

В области рубца срединного нерва и дистальнее него деструктивно-репаративные процессы протекают более интенсивно. На 14-е сутки исследований, кроме фрагментации и глыбчатого распада миелиновых оболочек, наблюдается их зернистый распад, увеличивается количество эльцольцевских телец. Среди сохранившихся мякотных волокон преобладают крупные по калибру (85—87,4%). Появляются и регенерирующие волокна, которые прорастают из центрального отрезка нерва и в области рубца располагаются беспорядочно (имеют зигзагообразный и даже ретроградный ход), а ниже рубца ориентированы, главным образом, по длинной оси нервного ствола. На единице площади поперечного сечения нерва их насчитывается (708 ± 86) штук. Все они в этот период наблюдения лишены миелинового покрытия и принадлежат как будущим мякотным, так и безмякотным волокнам.

На 30-е сутки количество шаров и зерен распавшегося миелина значительно уменьшается, а число регенерирующих волокон прогрессирует, большинство из них покрыто тонкой миелиновой оболочкой и относится к разряду мелких и средних по калибру (см. табл. 1, рис. 2, б). Уже в этот срок количество мякотных волокон преобладает над количеством безмякотных.

В последующие сроки (90-, 180- и 360-е сутки) в области рубца и дистальнее него происходит постепенное увеличение количества регенерирующих нервных волокон, превалирующее число которых покрыто миелиновой оболочкой. По их ходу уже на 90-е сутки наблюдаются перехваты Ранвье, расстояние между которыми приблизительно одинаково для всех групп мякотных волокон и составляет в среднем 440—500 мкм. Если сравнивать количество нервных волокон проксимальное и дистальное рубца нерва (см. табл. 1), то можно отметить, что выше рубца их число больше, а ниже — меньше. Поэтому здесь уместно упомянуть о дефиците регенерации — процентном выражении разности количества нервных волокон проксимальное и дистальное рубца. Дефицит будет составлять на 30-е сутки 70,0%, на 90-е — 2,0% и на 360-е — 1%. Причем уже на 90-е сутки между мякотными и безмякотными волокнами устанавливается соотношение, характерное для нормы. Из результатов распределения мякотных волокон по группам (см. табл. 1) видно, что на 90-е сутки опыта количество мелких и средних по калибру волокон больше, чем в норме, крупных же в этот период наблюдения мало (см. рис. 2, в). На 180-е сутки число мелких и средних волокон уменьшается, а крупных — увеличивается, хотя все они не достигают параметров, характерных для нормы. Только на 360-е сутки эксперимента соотношение между мякотными волокнами различных метрических групп принимает близкий к норме вид (см. рис. 2, г).

Во время де- и регенерации срединного нерва происходят определенные изменения во взаимоотношениях между нервными волокнами и внутриствольными кровеносными сосудами. Тесная положительная корреляция между этими компонентами нервного ствола нарушается только в ранние сроки эксперимента (7-е сутки). Начиная с 14-х суток эта взаимосвязь восстанавливается (r — коэффициент корреляции составляет 0,96—0,98). Это свидетельствует о том, что во время де- и регенерации срединного нерва между его ангио- и миелоархитектоникой существует определенная взаимообусловленность, т. е. деструктивно-репаративные процессы в проводниковом аппарате поврежденного нерва протекают сопряженно с определенными изменениями внутриствольного кровеносного русла. Причем эти изменения, судя по результатам наших исследований, благоприятствуют восстановлению целостности поврежденного нерва. Действительно, на 14—180-е сутки эксперимента, в связи с увеличением количества внутриствольных капилляров, число нервных волокон, приходящихся на каждый из них, и волокон, располагающихся в зоне васкуляризации каждого капилляра, уменьшается. Значительно падает число нервных волокон, соответствующих единице суммарной емкости внутриствольного кровеносного русла, а ее значение, приходящееся на одно нервное волокно, возрастает в 5—

10 раз (табл. 2). Этим создаются благоприятные условия для более быстрого выведения продуктов распада дегенерирующих нервных волокон, а усиленный приток питательных веществ обеспечивает оптимальное течение регенераторных процессов.

Таблица 2. Количественная характеристика внутриствольных нейро-вазальных отношений срединного нерва в динамике его де- и регенерации ($\bar{X} \pm S_{\bar{X}}$; $n=4$)

Условие, время и участок наблюдения	Число нервных волокон, приходящихся на 1 внутриствольный капилляр	Число нервных волокон в зоне васкуляризации каждого внутриствольного капилляра	Суммарная площадь (емкость) кровеносного русла, приходящаяся на первое волокно, $\mu\text{мм}^2$	Число нервных волокон, приходящихся на 1 $\mu\text{мм}^2$ суммарной площади кровеносного русла
До повреждения срединного нерва	$83,0 \pm 2,6$	$119,0 \pm 3,2$	$0,33 \pm 0,07$	$3,00 \pm 0,26$
После повреждения срединного нерва:				
7-е сутки				
проксимальнее рубца	$108,0 \pm 3,4^*$	$132,0 \pm 4,8^*$	$0,25 \pm 0,04^*$	$4,10 \pm 0,53^*$
дистальнее рубца	$47,0 \pm 1,8^*$	$55,0 \pm 1,6^*$	$1,16 \pm 0,09^*$	$0,87 \pm 0,05^*$
14-е сутки				
проксимальнее рубца	$86,0 \pm 2,1$	$112,0 \pm 2,5$	$0,42 \pm 0,07^*$	$2,40 \pm 0,27^*$
дистальнее рубца	$16,0 \pm 1,1^*$	$21,0 \pm 1,2^*$	$3,54 \pm 0,12^*$	$0,28 \pm 0,07^*$
30-е сутки				
проксимальнее рубца	$71,0 \pm 2,3^*$	$113,0 \pm 3,1$	$0,56 \pm 0,05^*$	$1,77 \pm 0,09^*$
дистальнее рубца	$18,0 \pm 1,2^*$	$32,0 \pm 2,8^*$	$3,57 \pm 0,13^*$	$0,28 \pm 0,03^*$
90-е сутки				
проксимальнее рубца	$73,0 \pm 2,1^*$	$119,0 \pm 3,1$	$0,53 \pm 0,08^*$	$1,90 \pm 0,10^*$
дистальнее рубца	$51,0 \pm 1,8^*$	$79,0 \pm 2,9^*$	$1,05 \pm 0,09^*$	$0,95 \pm 0,07^*$
360-е сутки				
проксимальнее рубца	$84,0 \pm 2,2$	$119,0 \pm 2,8$	$0,41 \pm 0,06$	$2,45 \pm 0,27$
дистальнее рубца	$81,0 \pm 2,1$	$121,0 \pm 2,6$	$0,42 \pm 0,03$	$2,37 \pm 0,15$

Сопоставляя результаты наших исследований с данными литературы, следует отметить, что в восстановлении ангиоархитектоники перерезанного седалищного нерва мы наблюдали такие же поэтапные изменения, как и другие исследователи [2]: периоды временной ишемии, реваскуляризации или восстановления сосудистого рисунка и его уплотнения. Однако эти исследователи отмечали восстановление кровеносного русла травмированного седалищного нерва кролика на 21—30-е сутки, а его уплотнение еще позже. По результатам наших исследований ангиоархитектоника перерезанного нерва практически восстанавливалась к 14-м суткам, после чего следовало ее значительное сгущение, которое соответствовало по времени периоду разгара де- и регенерации нервных волокон. В своих экспериментах по изучению кровоснабжения периферических нервов в норме [3, 5, 14] и в патологических условиях [2, 10] исследователи пользовались только качественными характеристиками и применяли при этом простой подсчет количества кровеносных сосудов на единице площади нерва [17, 19]. Мы впервые изучили корреляцию между количественными и метрическими параметрами различных звеньев внутриствольного микроциркуляторного русла с одной стороны и нервными волокнами различного калибра — с другой как в норме, так и в условиях де- и регенерации нерва. Такое комплексное изучение перестройки кровеносного русла и деструктивно-репаративных процессов в стволе травмированного нерва позволило нам прийти к заключению, что кровеносные сосуды играют существенную роль в восстановлении целостности поврежденных нервных проводников. Наши выводы подтверждаются данными других авторов [1, 4], которые отмечали резкое замедление выведения продуктов

тог распада линизацию. Таким образом, мы нерва хими волокна глубины стволов восстановле. В ходе ихния, сопряженного аг

MORPHO-FUNCTIONAL RELATIONSHIPS OF NERVE FIBRES IN THEIR DEGENERATION AND REGENERATION

V. L. Zelyak,
E. M. Yurakh,

Peculiarities of relationships between nerve fibres during its development, full swing of blood capillaries and vascularization of ducts, activation

Medical Institute
of the Ukrainian SSR

1. Абдулаев Н. А. Новые волны реабилитации // Симпосиум о перенесенных травмах. — Краснодар, 1986.
2. Выренков А. А., Григорьев А. А. и др. Стадии восстановления ангиоархитектоники перерезанного седалищного нерва у крыс // Вопросы физиологии и патологии нервной системы. — М.: Наука, 1968.— С. 21—26.
3. Деев Л. А. Периоды восстановления ангиоархитектоники перерезанного седалищного нерва // Вестник АМН ССР. — 1970. — № 1. — С. 21—26.
4. Жаботинская Е. А. и др. Метрические показатели восстановления ангиоархитектоники перерезанного седалищного нерва // Вестник АМН ССР. — 1970. — № 1. — С. 27—32.
5. Карапетян А. А. и др. Восстановление ангиоархитектоники перерезанного седалищного нерва // Вестник АМН ССР. — 1970. — № 1. — С. 33—38.
6. Катинас И. А. и др. Ошибки спирометрической анатомии // Вестник АМН ССР. — 1969. — № 1. — С. 21—26.
7. Катинас И. А. и др. Ошибки спирометрической анатомии // Вестник АМН ССР. — 1969. — № 1. — С. 21—26.
8. Куприянова Т. А. и др. Восстановление ангиоархитектоники перерезанного седалищного нерва // Вестник АМН ССР. — 1969. — № 1. — С. 27—32.
9. Лакин Г. А. и др. Восстановление ангиоархитектоники перерезанного седалищного нерва // Вестник АМН ССР. — 1969. — № 1. — С. 33—38.
10. Лейтес А. А. и др. Восстановление ангиоархитектоники перерезанного седалищного нерва // Вестник АМН ССР. — 1969. — № 1. — С. 39—44.
11. Максименко А. А. и др. Восстановление ангиоархитектоники перерезанного седалищного нерва // Вестник АМН ССР. — 1969. — № 1. — С. 45—50.
12. Мельман А. А. и др. Восстановление ангиоархитектоники перерезанного седалищного нерва // Вестник АМН ССР. — 1969. — № 1. — С. 51—56.
13. Мельман А. А. и др. Восстановление ангиоархитектоники перерезанного седалищного нерва // Вестник АМН ССР. — 1969. — № 1. — С. 57—62.
14. Огнев Б. А. и др. Восстановление ангиоархитектоники перерезанного седалищного нерва // Вестник АМН ССР. — 1969. — № 1. — С. 63—68.

словия для более
них нервных во-
еспечивает опти-

иро-вазальных
 S_X ; $n=4$)

пло- сть) рус- (вся лок- лок-	Число нервных волокон, приход- ящихшихся на 1 мкм^2 суммарной пло- щади кровеносно- го русла
7	3,00 \pm 0,26
1*	4,10 \pm 0,53*
0*	0,87 \pm 0,05*
7*	2,40 \pm 0,27*
1*	0,28 \pm 0,07*
1*	1,77 \pm 0,09*
1*	0,28 \pm 0,03*
1*	1,90 \pm 0,10*
1*	0,95 \pm 0,07*
	2,45 \pm 0,27
	2,37 \pm 0,15

инными литера-
китеконики пе-
постапные из-
ченной ишемии,
рисунка и его
ановление кро-
ролика на 21—
и наших иссле-
тически восста-
чительное сгу-
гара де- и ре-
по изучению
4] и в патоло-
только качест-
ой подсчет ко-
а [17, 19]. Мы
метрическими
роциркулятор-
ичного калиб-
ерации нерва.
руса и де-
ванного нерва
сосуды играют
денных нерв-
ми других ав-
дения продук-

тов распада нервных волокон, вялую регенерацию и запоздалую мие-
линизацию травмированного нерва в условиях ишемии.

Таким образом, исходя из приведенных результатов наших исследований, мы можем заключить, что при де- и регенерации срединного нерва характер и мера нарушения взаимоотношений между нервными волокнами и внутриствольными капиллярами являются отражением глубины структурных изменений этих компонентов нервного ствола, а внутриствольные кровеносные сосуды играют существенную роль в восстановлении целостности поврежденных периферических нервов. В ходе их де- и регенерации кровеносное русло претерпевает изменения, сопряженные с деструктивно-репаративными процессами проводникового аппарата и способствуют регенерации нерва.

MORPHO-FUNCTIONAL CHARACTERISTIC OF NEURO-VASCULAR RELATIONSHIPS OF THE PERIPHERAL NERVES DURING THEIR DEGENERATION AND REGENERATION

V. L. Zelyak, V. A. Levitsky, I. I. Gerzanich,
E. M. Yurakh, Ya. R. Lugovaya

Peculiarities of the rearrangement of the intratruncal blood vessels, nerve fibres and relationships between them are investigated on the median nerve of 34 adult male-dogs during its degeneration and regeneration after injury. It is established that in the full swing of degeneration and regeneration of nerve fibres (14-180 days) intratruncal blood capillaries increase in the number, that results in a decrease of the number of nerve fibres corresponding to every intratruncal capillary and being arranged in their vascularization regions. This promotes a faster removal of myelin decomposition products, activation of intraneuronal metabolism and quicker regeneration of the axons.

Medical Institute, Ministry of Public Health
of the Ukrainian SSR, Ivano-Frankovsk

1. Абдулаев М. С., Мамедова Э. Г. Особенности дегенерации и регенерации миелиновых волокон в условиях ишемии в раннем послеоперационном периоде в зависимости от возраста животных // Тр. Крым. мед. ин-та.—1983.—101.—С. 65—66.
2. Выренков Ю. Е. Кровеносные сосуды седалищного нерва в норме, после перерезки, сшивания и трансплантации: Автореф. дис. ... канд. мед. наук.—М., 1957.—21 с.
3. Деев Л. А. Вакуляризация лучевого и подкрыльцевого нервов человека // Вопросы морфологии нервной системы.—М.: Медицина.—1966.—С. 257—263.
4. Жаботинский Ю. М., Костенецкий А. С. Регенерация поврежденных периферических нервов при ишемии // Вопросы физиологии и морфологии центральной нервной системы.—М.: Медицина.—1953.—С. 208—222.
5. Караваев А. В. К морфологии внутриствольных артерий нервов верхней конечности // Вопросы морфологии костной, сосудистой и нервной систем.—Саратов.—1968.—С. 161—164.
6. Катинас Г. С., Степанцов В. И. Способ оценки некоторых данных, характеризующих емкость кровеносного русла // Изв. АПН РСФСР.—1957.—84.—С. 175—176.
7. Катинас Г. С., Булгакова В. И., Никифорова Е. Н. О нахождении стандартной ошибки среднего с учетом изменчивости признака в пределах организма // Арх. анатомии, гистологии и эмбриологии.—1969.—57, № 9.—С. 97—104.
8. Куприянов В. В. Пути микроциркуляции.—Кишинев: Карта Молдовеняскэ.—1969.—243 с.
9. Лакин Г. Ф. Биометрия.—М.: Высш. шк.—343 с.
10. Лейтес А. Л., Черкашин С. И., Кубанова Е. И. Сходства и различия внутриствольной ангиоархитектоники некоторых черепномозговых и спинномозговых нервов при окольном кровотоке в эксперименте // Арх. анатомии, гистологии и эмбриологии.—1969.—№ 28.—С. 57—63.
11. Максименков А. Н. Внутриствольное строение периферических нервов.—Л.: Гос. Изд-во мед. лит.—1963.—375 с.
12. Мельман Е. П., Долинский Н. В. Метод сочетанного выявления нервных волокон и кровеносных сосудов в нервных проводниках // Арх. анатомии, гистологии и эмбриологии.—1977.—№ 4.—С. 102—105.
13. Мельман Е. П., Левицкий В. А., Павлович В. Г. Биометрическая характеристика коррелятивных внутриствольных ниро-вазальных соотношений периферических нервов собаки // Там же.—1981.—№ 10.—С. 57—66.
14. Огнев Б. В., Выренков Ю. Е. Кровоснабжение периферических нервов // Сосудистая и нервная система.—М.: Медицина.—1968.—С. 26—29.

15. Ромейс Б. Микроскопическая техника.— М.: Изд-во иностр. лит.— 1954.— 718 с.
16. Сотников О. С. Функционально-морфологический анализ реактивных изменений нервных волокон при развитии коллатерального кровообращения в нервах // Арх. анатомии, гистологии и эмбриологии.— 1976.— № 4.— С. 31—38.
17. Karmanska J., Karmanska W., Slusarczuk K. Investigations of capillary density in biomorphosis of peripheral nerves in albino rat // Zool. Pol.— 1973.— 23, 3/4.— P. 237—243.
18. Olsson J. Studies on vascular permeability in peripheral nerves // Acta neuropathol.— 1971.— 17, N 2.— P. 114—126.
19. Sunderland S. The blood supply of peripheral nerve trunks / / Nerves and nerve injuries.— Edinburg; London, 1968.— P. 43—60.
20. Weller R. O. Pathology of peripheral nerves // Wiss. Z. Friedrich-Schiller-Univ. Jena. Math-Naturwiss. R.— 1985.— 34, 2/3.— P. 442—453.

Ивано-Франк. мед. ин-т
М-ва здравоохранения УССР

Поступила 10.12.86

УДК 618.14:615.27 + 612.015.3/001.6

Влияние противогипоксических средств на сократительную деятельность матки и ее метаболизм

Ю. В. Мельник, В. К. Тищенко, Л. М. Зайцев, М. Л. Тараховский

Гипоксия беременной и плода является тем патогенетическим фактором, который определяет характер и уровень повреждений, происходящих в перинatalный период у женщин с заболеваниями сердечно-сосудистой системы [2, 11, 19]. Роды в условиях гипоксии материального организма характеризуются повышением частоты осложнений, вызванных, в частности, нарушением сократительной деятельности матки [8, 12], слабостью родовой деятельности и ее дискоординированностью [1, 4, 13] и, следовательно, увеличением частоты перинatalных повреждений плода и новорожденного [10, 14]. Изложенное выше определяет целесообразность изучения особенностей влияния антигипоксантов на сократительную функцию матки и ее метаболизм.

Результаты проведенных ранее экспериментов показали антигипоксический эффект этилизола и солевой смеси (гидрокарбонат и цитрат натрия; сульфаты меди, марганца и цинка) на модели хронической внутриутробной гипоксии плода [15, 16, 18]. В комплексной терапии беременных с гипертонической болезнью и сахарным диабетом используется компламин (ксантинол никотинат), противогипоксический эффект которого при гипоксии плода связан с его нормализующим влиянием на маточно-плацентарный кровоток и процессы микроциркуляции в плаценте и матке [28].

Использованию этих препаратов в акушерской практике не предшествовало исследование их влияния на сократительную функцию матки и характеристики протекающих в ней метаболических процессов. Это послужило основанием для изучения влияния этилизола, солевой смеси и компламина на сократительную активность и метаболизм матки здоровых крольчих и с моделью сердечно-сосудистой недостаточности.

Методика

Исследования проведены на 43 беременных и небеременных крольчихах. С целью воспроизведения сердечно-сосудистой недостаточности у беременных крольчих за 2 мес до наступления беременности осуществляли дозированное сужение надклапанного участка аорты по методу, предложенному Меерсоном [5] в модификации Тараховского и соавт. [7]. Крольчих осеменяли через 2 мес после операции под наркозом: хлоралоза (0,05 г/кг) + уретан (0,5 г/кг). На 30-е сутки беременности животных подвергали эвтанизии с соблюдением приказа МЗ СССР № 755 от 12 августа 1977 года.

Сократительную в опытах *in vivo* и *in vitro* матки крольчих помешанным раствором исследовали с помощью механотрона электрической и сократительной НОЗОА, входящем в метров [3].

Изучение сократительной в острой опытах матки вводили в матку, выступ мембранный баллон — сильфон сожженый механотроном, осуществляли как и в

В исследовании 4,8·10⁻⁴ моль/л, к 2,3·10⁻⁴ моль/л. Дан препаратов, применяя

Для изучения зловых ферментов печеных глюконатдегидрогеназ (влажной ткани) на матке определяли мицеллы и пирувата во влажных тканях матки исследовались АТФ, АДФ, тодом электрофореза нуклеотидов используя

Животных условия животные, вторая — животные с моделью беременные животные мизолом, компламином

Все исследованы моделью сердечно-сосудистой момента родов. Этими 1 раз; компламин (5 контролльной группы) тонического раствора

Результаты

Установлено, что чих к концу беременности сократительной активности матки лась серией потрясений регистрируется 10—14 ПД в серии сокращений $\times 10^{-2}$ Н — 1,96·8—12 и 15—18 с. Компламина сила 2—5 мин происходил уменьшалась сокращение 15—20 минутной и электрическое действие этилизола своеобразной реакции его одиночных сокращений у

Физiol. журн., 1987, т. 33, № 5